

## محاسبه ضریب انتشار رسوبات توسط افرازهای گسلی در شمال کرمان

امیر شفیعی بافتی

عضو هیات علمی دانشگاه آزاد اسلامی واحد زرند

محمد رضا قطبی راوندی

عضو هیات علمی دانشگاه آزاد اسلامی واحد زرند

مجید شاهپسندزاده

عضو هیات علمی دانشگاه تحصیلات تکمیلی صنعتی کرمان، پردیس ماهان

تاریخ پذیرش: ۹۲/۸/۱۵

تاریخ دریافت: ۹۱/۱/۲۰

amir@iauzar.ac.ir

### چکیده

یکی از ساده‌ترین و مهمترین راه‌های تکمیل کاتالوگ زمین لرزه‌های یک منطقه، تعیین زمان و مکان رخدادهای وقایع لرزه‌ای می‌باشد. این مطلب از این نظر اهمیت دارد که مکان‌های دارای پتانسیل لرزه‌ای شناسایی و مکان‌هایی که در تاریخ امروزه فاقد فعالیت‌های لرزه‌ای اما دارای قابلیت ایجاد زلزله می‌باشند، شناسایی می‌گردد. یکی از راه‌های شناسایی این مکان‌ها استفاده از افرازهای گسلی فروساپیده می‌باشد که به صورت هم لرزه ایجاد گردیده‌اند. با استفاده از مکان‌های دارای شرایط مناسب، برداشت‌های صحراوی و تجزیه و تحلیل‌های منطقه‌ای زمان و قوع شکستگی یا زمین لرزه مشخص می‌شود. ۲ روش عمدۀ برای مطالعه پرتگاه‌های گسلی وجود دارد: ۱- مدل سازی پخشیدگی ۲- مدل فروساپیده گسل‌ها. اما برای هر دو مورد یاد شده محاسبه ضریب انتشار از اهمیت فوق العاده ای برخوردار است زیرا این ضریب به عوامل گوناگونی از قبیل نوع رسوبات، میزان بارندگی، جهت و شدت وزش بادها شبیه توپوگرافی وابسته می‌باشد. به علت این که این عوامل بصورت ناحیه‌ای تغییر می‌کنند لذا ضریب انتشار یا پخشیدگی نیز بصورت تابع تغییر می‌نماید. برای محاسبه‌ی این ضریب در ناحیه زرند از افرازهای گسله هم لرزه زلزله‌های ۱۹۷۷ و ۲۰۰۵ باب تنگل و داهوئیه-هتنک در ۷ ایستگاه استفاده و مقدار این ضریب معادل  $m^2/ky = 10^{10} \times 5/3$  محاسبه گردید. این مقدار ضریب انتشار برای رسوبات کواترنر بدست آمد. مقدار پائین این ضریب در منطقه زرند نمایش دهنده پائین بودن نزولات آسمانی و فرسایش در این منطقه بوده که سیمان شدگی‌های محلی و جزئی در رسوبات نیز در این موردن خود را ایفا نموده‌اند. در این مطالعات مشخص گردید افرازهای گسله بلندتر مقادیر نزدیک تر و واقعی تری از ضریب پخشیدگی را نسبت به مقدار محاسبه شده از افرازهای گسلی کوتاه‌تر به نمایش می‌گذارند.

**کلمات کلیدی:** ضریب انتشار رسوب، کواترنری، پرتگاه گسلی، فروساپی سطح گسل، ایران مرکزی

های قدیمی در تکمیل کاتالوگ زمین لرزه‌های یک منطقه دارای اهمیت فوق العاده می‌باشد زیرا در تعیین دوره بازگشت زلزله‌ها و چگونگی سازوکار آنها دارای کاربرد می‌باشد. آنچه که محاسبه ضریب فروساپی اغلب بر روی رسوبات کواترنر صورت می‌پذیرد و عوامل آب و هوایی این دوره بر روی چگونگی فرسایش آنها تأثیر به سزاوی دارد، لذا در این قسمت به بررسی سه عامل آب و هوایی، بادها و نوع رسوبات در منطقه مورد مطالعه در دوره کواترنری پرداخته می‌شود.

### بحث

آب و هوای ایران زمین در کواترنری با تأکید بر ایران مرکزی دوره کواترنری گستره‌ای در حدود ۲/۶ میلیون سال از تاریخ زمین را در بر گرفته است. شواهد نوسانات آب و هوایی در ایران از سیستمهای زمین ریختی متفاوت مانند رسوبات دریاچه‌ای (Ramezani et al, 2008) صحراءها و کویرها

### مقدمه

تمام سطح زمین در طول زمان بوسیله تعادل بین فرآیندهای سازنده (زمین ساختی) و مخرب (فرسایش) ایجاد گردیده است یکی از ساده‌ترین این سیماهای تعادل شونده پرتگاه‌های گسله (Fault scarps) می‌باشد، جایی که شبیه تند پرتگاه شکل گرفته بوسیله یک گسل در اثر زلزله در سطح زمین بوسیله فرسایش دچار هموارشدنگی می‌گردد. ایجاد یک پرتگاه گسله در چند ثانیه صورت می‌پذیرد و سپس توسط فروساپی (Degradation) و فرآیندهای فرسایشی در طول چندین سال تحت تأثیر قرار می‌گیرد. در بعضی نمونه‌ها این فروساپی می‌تواند بصورت ریاضی مدل سازی گردد و به این ترتیب شکل قبل و بعد پرتگاه قابل استنتاج خواهد بود. این ابزار در دیرینه لرزه شناسی (Paleoseismology) دارای کاربرد می‌باشد، زیرا در بعضی مواقع می‌تواند در تعیین سن و قوع زمین لرزه‌های قدیمی از روی پرتگاه‌های گسله مفید باشد. تعیین سن و قوع زمین لرزه

پرتگاه های گسلی رسوبی از اهمیت ویژه ای برخوردار است. در قسمت زیر به بررسی رژیم بادها از ابتدای کواترنر تاکنون، در ایران مرکزی و رژیم بادهای کنونی منطقه مورد مطالعه می پردازیم.

از مطالعه نظرات محققین چنین بر می آید که در طول پلیستوسن در ایران مرکزی بادهای شمالی اغلب نواحی مرتفعتر را تحت تأثیر قرار می داده اند. از این موارد می توان به یارانگ های غول پیکر (کلوت ها) بخش مرکزی حوضه لوت اشاره کرد. (Kehle. 2009). این کلوت ها بیش از ۱۵۰ کیلومتر درازا داشته و از یکدیگر توسط دالان های موازی تفکیک گردیده اند. این ساختارها از درون مواد ماسه ای سیلیتی به سن پلیوسن پائینی تا پلیوسن میانی با عمقی حداقل ۲۰۰ متر، ایجاد گردیده اند. در طول دوره های نسبتاً خشک و سرد پلیسیوسن یک سیستم گردباد تقویت شده سیبریایی احتمالاً منجر به تضعیف و تغییر جهت به سمت جنوب بادهای موسمی قدیمی شده است و این امر به عنوان شاهدی برای دوره LGM در نظر گرفته شده است (Sirocko. 1991).

بادهای موسمی آثار گردبادها به سمت جنوب شرق جابجا گردیده است شواهدی در دست است که در طول دوره یخبندان پایانی، ایران مرکزی بادهای شدیدتر از امروز را تجربه کرده است (Kehl. 2009). البته یک شیراهه (Ramp) (Masse ای در نزدیکی اردکان که در طول دوره LGM (تعیین سن توسط روش درخشانی یا Luminescence شکل پیدا کرده است، علت تشکیل آن را جریان بادهای بادی که از سمت جنوب شرق می آمده تشخیص داده اند که دقیقاً مخالف آن چیزی است که در بالا ذکر شد (Thomas et al. 1997). رژیم عمومی بادهای کنونی ایران در طول ماه های زمستان تحت اثر سیستم های کم فشار، استوایی و سیستم های طوفان زای سیبری می باشد (Kehl. 2009) (اما در تابستان جریانی قوی بر روی ایران مرکزی شکل گرفته که نتایج آن بصورت وزش باد از سمت شمال غرب به سمت شرق و اقیانوس هند می باشد (Ganji. 1978)). سیستم باد ناحیه ای در شرق ایران مرکزی شامل باد ۱۲۰ روزه سیستان است که با جهت شمال، شمال غرب از بهار تا اواسط پائیز این ناحیه را تحت سلطه خود دارد. اغلب بادهای نیروممندی که خشک و گرم بوده و در دامنه کوه های ایران مرکزی شکل می گیرند، سبب ایجاد طوفان های گرد و غبار می شوند، دوره ی این طوفان ها به ترتیب و بطور متوسط برای شهرهای یزد و زابل ۲۴ و ۸۱ روز می باشد (سازمان هواشناسی ۱۳۸۹).

### ارزیابی اقلیمی منطقه زرند

منطقه زرند و شمال کرمان از نظر آب و هوایی تنوع داشته به طوری که در قسمت های خاوری (حاشیه دشت‌لوت) آب و هوای گرم و خشک با میانگین دمای سالانه  $+40^{\circ}$  -  $4^{\circ}$  حاکم است. در رشته کوه های باختری منطقه مورد مطالعه، آب و هوای خشک و معتدل تا نیمه گرم بوده و میانگین دمای حداقل  $35^{\circ}$  سانتی گراد و میانگین سالیانه بیشینه و کمینه دما بین  $35^{\circ}$  تا  $-2^{\circ}$  درجه سانتی گراد متغیر است (اداره هواشناسی کرمان ۱۳۸۴).

متوسط بارش در حاشیه دشت لوت کمتر از ۶ میلی متر در سال و تعداد روزهای خشک سال حدود ۲۹۰ روز است. در دشت راور، ارتفاعات لکرکوه از ورود بادهای داغ محلی شده، به طوری که متوسط بارش سالیانه به حدود ۱۶۰ میلی متر در سال و تعداد روزهای خشک سال به حدود ۲۴۰ روز می رسد. در ناحیه

(Krinsly, 1970) مورن های یخچالی (Kuhle, 1976&2008) و اشکال قبل از دوران یخچالی، گنبدهای نمکی (Busche et al. 2002) رسوبات تخریبی (Vitafinzi, 1969) رسوبات دامنه ها و بادبزن های آبرفتی (Regard et al, 2004) استنتاج گردیده است.

در ایران پژوهش های کواترنری بصورت پراکنده و بطور مبسوط در اطراف تهران انجام گرفته است و در بقیه نقاط ایران کارهای موضعی صورت پذیرفته است، اما در مجموع می توان موارد زیر را به عنوان خلاصه ای از اثرات کواترنر در ایران در نظر گرفت:

در پلیستوسن پائینی شرایط آب و هوایی کمی مرطوب تر از امروز در نظر گرفته شده است (Bobek, 1963). فرض نموده که رسوبات انباشته شده در پلایای قم که حدود ۳۵۰ متر ضخامت دارند و متشکل از سیلت های قهقهه ای و لایه های رسی می باشند، در یک محیط نیمه دریاچه ای ماندگار ته نشست گردیده اند. احتمالاً در همان زمان حوضه لوت با لایه های افقی تخریبی های سیلیسی با اندازه لایی و ماسه و میان لایه های تبخیری پر می شده است. این رسوبات نشان دهنده یک دریاچه کم عمق و بسته می باشد (Bobek, 1963). با فرسوده شدن این رسوبات توسط نیروی بادهای شدید و افزایش خشکی هوا یارانگ های بزرگ و کلوت ها ایجاد شده اند. بخش بالای رسوبات کویر مسیله (پلایای قم) احتمالاً از پلیستوسن پائینی تا پایان دوره ی یخبندان پائینی رسویگاری شده است. تجمع توده های نمکی در کلیه رسوبات کویری و حوضه های داخلی ایران نشان دهنده شرایط آب و هوای گرم می باشد که نمونه برداری از آنها سنی بین ۷ تا ۲۰ هزار سال را برای آنها مشخص می کند. کلیه رسوبات با رخساره های رسوبی متفاوت به عنوان شاخن هایی از شرایط سردتر با تبخیر کمتر در ردیف های رسوبی دریاچه ای در نظر گرفته می شوند (Krinsley, 1970). تغییرات آب و هوایی پلیستوسن میانی در رسوبات لسی شمال ایران در منطقه نوده منعکس گردیده است (Kehle et al, 2005 b).

ارزیابی های متعدد که بر روی کاهش حرارت در هنگام آخرین یخبندان انجام گردیده کاهش حرارتی بیش از  $5^{\circ}$  در کوه های البرز و زاگرس (Last glacial Maximum (LGM) (1963)، ۵ تا  $8^{\circ}$  سانتی گراد در طول در ایران مرکزی (Krinsley, 1970) و بین  $8^{\circ}$  تا  $10^{\circ}$  سانتی گراد برای دمای متوسط سالیانه را برای جنوب ایران مشخص کرده است.

بعد از دوره ی خشک هولوسن پائینی احتمالاً تغییرات آب و هوایی نسبتاً شدیدی در ایران رخ داده است (Ganji, 1970). فازهای مرطوب که اغلب مخروط افکنه ها و رسوبات دریاچه ای را در ایران بوجود آورده است در زمان کواترنر پسین عملکرد داشته اند. به نظر بعضی محققان مانند (Huckride, 1961) رسوبات دریاچه ای آب شور که در نزدیک شهر کرمان یافت شده است و شامل زغالسنگ نارس به همراه رسوبات با پایه های آهکی می باشند به عنوان نمونه ای از فازهای مرطوب و باران های کواترنر پسین تفسیر شده است.

### بررسی رژیم بادهای کواترنری تاکنون در ایران مرکزی

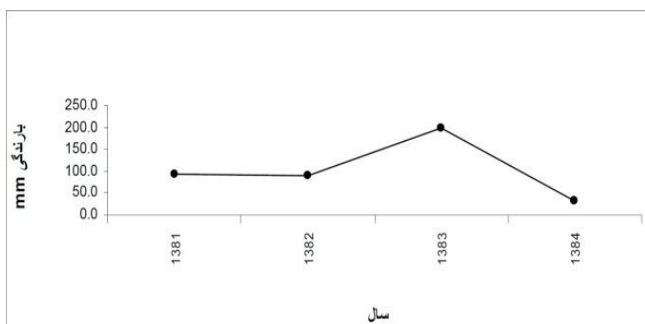
از آن جایی که یکی از مؤثرترین عوامل ایجاد و تغییر اشکال سطح زمین بادها می باشند و به دلیل اینکه اغلب افزایهای گسلی در رسوبات سست (کواترنر) مورد بررسی قرار گرفته اند، بررسی چگونگی جهت وزش و تغییرات آن در طول زمان به خصوص از کواترنری تاکنون، تغییرات سرعتی آن در طول ماه های سال، در صده های قبل و نحوه تشخیص و اثربازی آن بر روی سیماهای سطحی و بررسی میزان رطوبت و عدم رطوبت آنها از مسائلی می باشد که در بحث فروساپی

با توجه به پارامترهای ذکر شده در بالا می‌توان وضعیت خشکسالی را در منطقه به صورت (شکل ۴) تفسیر کرد. همانطور که در نمودار مشخص است آستانه بارندگی در دوره مذکور در منطقه زرند ۷۸,۲ میلیمتر است (شجاعی. ۱۳۸۵). جهت وزش باد در منطقه زرند در (شکل ۵) نشان داده شده است. با توجه به این شکل جهت وزش بادهای غالب در منطقه شمال شرق می‌باشد.

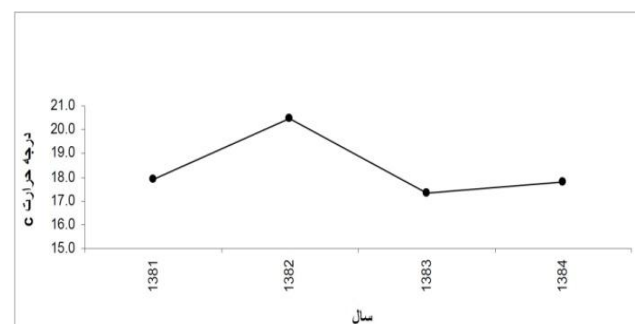
جدول ۱. پارامترهای سالانه‌ی آب و هوایی برای یک دوره‌ی ۴ ساله منطقه زرند

زرند میزان بارش سالیانه حدود ۱۸۰ میلیمتر بوده و تعداد روزهای خشک سال حدود ۲۲۰ روز در سال است (اداره هواشناسی کرمان ۱۳۸۴). اطلاعات فوق به صورت ناپیوسته برداشت و محاسبه گردیده است. اما میانگین دما در منطقه زرند در یک دوره چهارساله از ۱۳۸۱ تا ۱۳۸۴ که اطلاعات آن به صورت پیوسته اندازه گیری گردیده است، ۱۸/۳۶ درجه سانتیگراد و میانگین بارندگی در این منطقه در حدود ۱۰۴ میلیمتر را نشان می‌دهد. سایر پارامترهای سالانه آب و هوایی زرند در (جدول ۱) و (شکل های ۱، ۲ و ۳) آورده شده است (شجاعی. ۱۳۸۵).

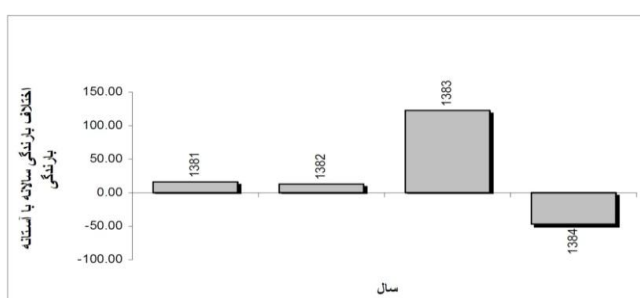
سال	بارندگی (mm)	میانگین دما (mm)	تبخیر سالانه (mm)	سرعت پاد (km/h)	سرعت متوسط پاد (km/h)	میانگین رطوبت میانگین بخشنده	روزهای بخشنده	ساعت‌آفتابی
۱۳۸۱	۹۳,۸	۱۷,۹	۷۸۵,۴۲	۱۲,۱۷	۱,۸	۳۲,۹۲	۶۹	۲۳۷۵,۷۵
۱۳۸۲	۹۱	۲۰,۴۷	۲۸۰,۶۲	۱۱,۶۷	۲,۵۳	۳۴,۶۱	۵۵	۳۲۹۵,۳
۱۳۸۳	۲۰۰,۲	۱۷,۳	۲۶۸۷,۷	۱۰,۰۸	۱,۶۳	۳۷,۲۱	۵۵	۳۲۲۹,۶
۱۳۸۴	۳۲,۱	۱۷,۷۹	۸۹۱,۱۶	۳,۴۲	۰,۹۷	۱۷,۲۵	۴۷	۱۲۱۰,۶
total	۴۱۷,۱	-	۷۱۷۰,۴۸	-	-	-	۲۲۶	۱۰۱۱۱,۲۵
mean	۱۰۴,۳	۱۸,۳۶	۱۷۹۲,۶۲	۹,۳۳	۱,۷۳	۳۰,۵	۵۶,۵	۲۵۲۷,۸۱



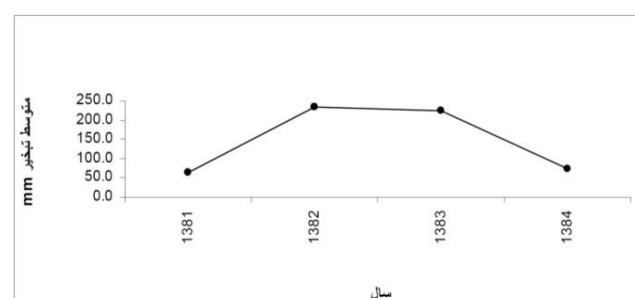
شکل ۲. نمودار تغییرات دمای سالیانه برای دوره‌ی ۴ ساله منطقه زرند



شکل ۱. نمودار میزان بارش برای یک دوره‌ی ۴ ساله‌ی منطقه زرند



شکل ۴. نمودار ارزیابی خشکسالی در منطقه زرند برای دوره‌ی ۴ ساله بین سالهای ۸۱-۸۴



شکل ۳. نمودار مقادیر تبخیر اندازه گیری شده در منطقه زرند



می رسد شکل می گیرند. مدل سازی کمی پخش رسوبات زمانی که برای پرتوگاه های گسلی بکار گرفته شود بسیار مفید خواهد بود . همچنین با فرض و یا محاسبه ضربی انتشار، زمین شناس می تواند در مورد زمان شکل گیری پرتوگاه حدس بزند. پرتوگاه گسلی که در رسوبات نرم و غیر مستحکم که اغلب دارای سن کواترنری نیز باشند بهترین گزینه برای مدل سازی فروسایی می باشد زیرا که بصورت لحظه ای شکل گرفته ولی بصورت کاملاً سازمان یافته (Systematic) فرسوده و فروسائیده می شوند. در اصل یک زمین شناس با اندازه گیری هایی که روی یک پرتوگاه گسله انجام می دهد. مدت زمان فروسایی پرتوگاه گسله را محاسبه می نماید اما در انجام این عمل چند اصل می باشد قرار بگیرد:

۱ - پرتوگاه حتماً می باشد از نوع محدود شده توسط حمل و نقل باشد، پرتوگاه گسلی که در سنگ بستر ایجاد شده باشد نمی تواند بوسیله پخش

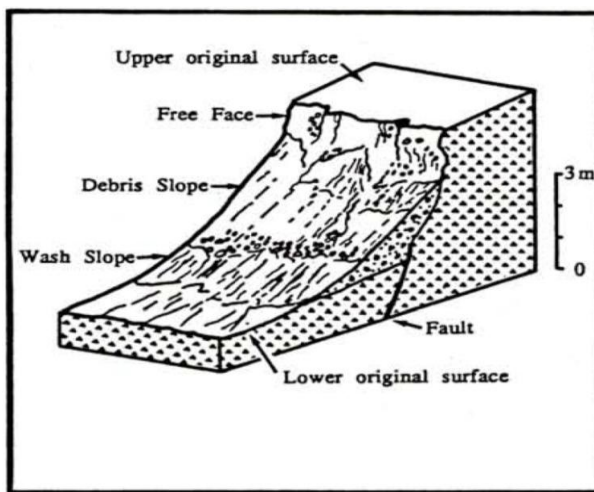
و فروسایی مدل سازی شوند.

۲ - بعد از هر زلزله، پرتوگاه ایجاد شده می باشد سریعاً با فرو ریختش به زاویه پایداری برسد (برای ماسه حدود  $25^{\circ}$  تا  $35^{\circ}$ ).

۳- باید ضربی پخش یا انتشار را برای اندازه گیری محاسبه نماییم. ۴- پرتوگاه می باشد تنها در یک حادثه لرزه ای و توسط ۱ پاره شدگی ایجاد شده باشد. از موارد فوق مورد ۳ بسیار مهم است زیرا بدون دانستن ضربی پخشیدگی تعیین سن پرتوگاه گسله امکان پذیر نیست که یکی از راه های اندازه گیری آن به شرح زیر است (Colman & Watson 1983):

$$k \cdot t = \frac{d^2}{4\pi} \cdot \frac{1}{(\tan \theta - \tan \alpha)}$$

در این فرمول  $t$  زمان،  $d$  جدایش قائم بین بالا شیب و پائین شیب،  $\theta$  حداقل شیب پرتوگاه و  $\alpha$  میانگین زاویه شیب کلی منطقه می باشد. این معیارها در صحراء قابل برداشت می باشند.



شکل ۶. اجزاء اصلی یک پرتوگاه گسلی ایجاد شده در رسوبات کوهپایه ای (اقتباس از Wallace 1977) دانستن اینکه عناصر مختلف یک پرتوگاه گسله بوسیله فرآیندهای مختلف تولید می شوند.

## پرتوگاه های گسله

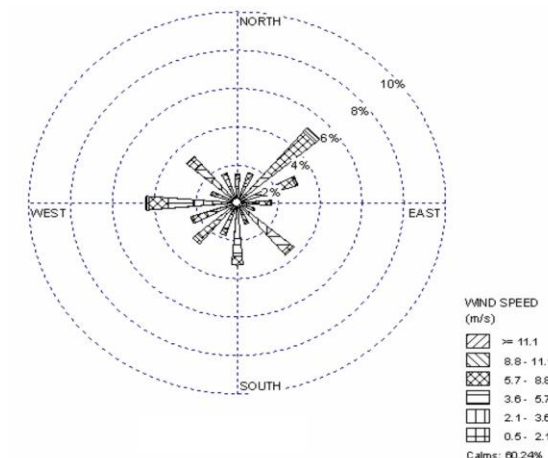
پرتوگاه های گسله جلوه مستقیمی از گسیختگی سطحی زمین لرزه ها هستند. آنها تقریباً فوری و وقتی که گسیختگی به سطح زمین می رسد تولید می شوند. عموماً مردمی که زلزله های اصلی را دیده اند بیان می کنند که پرتوگاه ها و شکستگی های خیلی سریع وجود می آیند. حرکت برشی بوجود آورنده پرتوگاه های گسله شبیه عملکرد یک زیپ بزرگی است که تا انتهای باز نمی شود. پرتوگاه های گسله، نشیب هایی هستند که یک فرم عمومی مانند بسیاری از شیب های طبیعی دارند. همه ای عناصر این زمین شیدار که روی (شکل ۶) نشان داده شده ممکن است که روی یک پرتوگاه گسله معین وجود نداشته باشد در حقیقت برتری یک عنصر نسبت به دیگری با گذشت زمان تغییر خواهد کرد. مهم است، بطور مثال سطح آزاد یا (Free face) مستقیماً توسط گسلش ایجاد می شود که ممکن است هنگام شکل گیری تقریباً عمودی باشد. در طرف دیگر شیب واریزه ای و شیب آبرفتی به ابانته شدن مواد در پایین سطح آزاد مرتبط اند و بدین گونه به فرآیندهای حمل و نقل رسوب و فرسایش مربوط می شوند. تخریب پرتوگاه گسله دارای نرخ های متفاوتی است و به شرایط آب و هوایی و انواع موادی که پرتوگاه را شکل می دهند بستگی دارد، تغییرات در عناصر لغزش در طول زمان می تواند بعنوان یک درصد از طول پرتوگاه ثبت شود. برای مثال یک پرتوگاه ممکن است ترکیبی از یک سطح آزاد (متجاوز از  $50\%$  از نیمrix)، و یک شیب واریزه ای ( $50\%$  باقیمانده) باشد.

## روش مطالعه

برای مطالعه پرتوگاه های گسلی دو روش کلی که به صورت کمی انجام می شوند، وجود دارد این دو روش عبارتند از : ۱ - مدل سازی پخشی (Diffusion Modeling) و ۲ - فرسایی پرتوگاه گسلی (fault scarp degradation) که در قسمت زیر به آن پرداخته می شود.

## مدل فرسایی پرتوگاه گسله

پرتوگاه هایی توانند بعنوان نتیجه ای از بسیاری از فرآیندهای زمین ریختی باشند. پرتوگاه های گسلی زمانی که شکستگی حاصل از یک زلزله به سطح زمین



شکل ۵. نمودار گلبد منطقه زرند که سرعت وزش بادها را با توجه به جهت وزش به نمایش گذاشته است. اطلاعات از یک دوره ۴ ساله اقتباس گردیده است.



## جمع آوری اطلاعات

(شکل ۸) نمایش داده شده است . لازم به ذکر است که کلیه برداشت های

صحرا ای در رسوبات کواترنر و به خصوص کواترنر بالائی انجام پذیرفت.

در (شکل ۹) روش برداشت عناصر نشیب در صحراء و کلیه برداشت های صحرا ای در (شکل ۱۰) نمایش داده شده است.

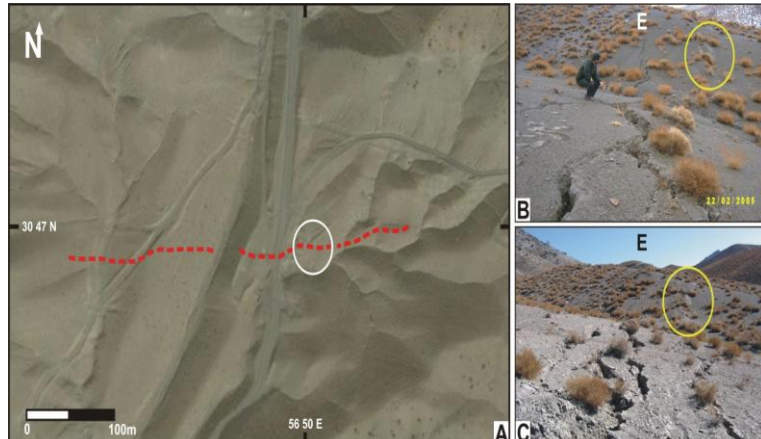
پس از انجام محاسبات و تبدیل جدایش مایل به جدایش قائم داده های زیر مربوط به ضریب انتشار برای هر ایستگاه بصورت زیر بودست آمد (جدول ۳). مقادیر شیب توپوگرافی متوسط ( $\alpha$ ) (جهایش قائم  $d = sl \cdot \sin \theta$ ) و مقدار  $k$  (ضریب انتشار) در جدول ۳ آمده است.

برای اندازه گیری ضریب انتشار در منطقه زرند، سعی گردید افزارهای گسلی که سن واقعه ی لرزه ای ایجاد کننده آنها مشخص بوده و همچنین ویژگی های مطالعاتی که قبل از آنها پرداخته شد را نیز دارا می باشند، مشخص گردد. از بین

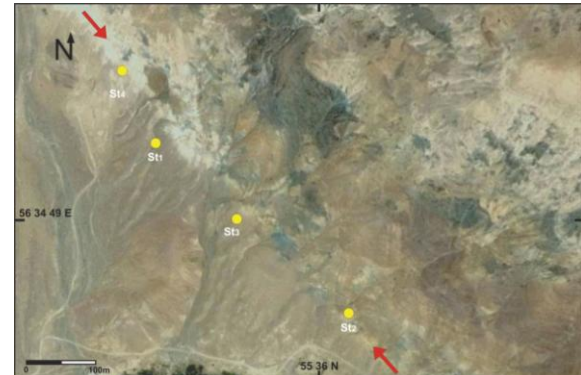
این وقایع دو زلزله ۱۹۷۷ باب تنگل و ۲۰۰۵ هتکن - داهوئیه انتخاب شد. با بررسی مناطق گسیخته شده در محدوده روستاهای شهرک طالقانی تا ده آهنگر ۵ گسیختگی های فروساپی شده زلزله ۱۹۷۷ در رسوبات کواترنر شناسایی و در ۲ ایستگاه اقدام به برداشت پارامترهای صحرا ای گردید. در (شکل ۷) محل ایستگاه ها نشان داده شده است. همچنین برای زلزله ۱۹۷۷ هتکن - داهوئیه، فقط ۲ پرتوگاه گسلی واجد شرایط اندازه گیری تشخیص داده شد که مکان آن ها در

جدول ۲. اطلاعات برداشت های صحرا ای در ایستگاه های مختلف را نمایش می دهد. (f<sub>s</sub>) افزار گسله،  $\alpha_1$  شیب بالا دست،  $\alpha_2$  شیب پائین دست،  $\theta$  شیب حداکثر افزار و SL طول جدایش بین بالا دست و پائین دست

$f_s$	$(\alpha_1)^\circ$	$(\alpha_2)^\circ$	$(\theta)^\circ$	$SL_{cm}$
۱	۲۷	۱۹	۳۰	۹۷
۲	۲۹	۲۶	۳۴	۴۱/۸
۳	۲۳	۱۵	۲۰	۸۲/۱
۴	۲۶	۱۶	۳۴	۱۰۰
۵	۲۵	۳۰	۳۴	۹۶/۵
۶	۲۶	۲۱	۳۵	۸۰/۷
۷	۳۰	۲۶	۳۵	۱۱۷

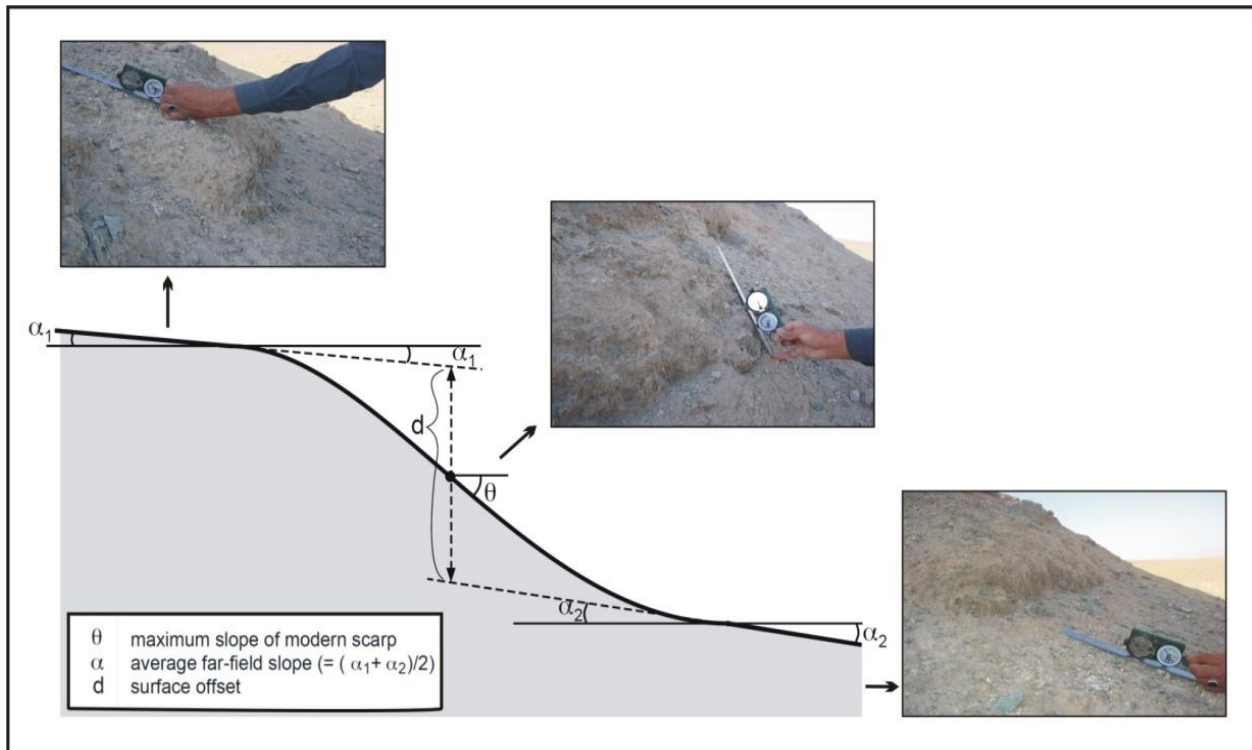


شکل ۸: تصویر ماهواره ای شکستگی اصلی زلزله ۲۰۰۵ داهوئیه (شکستگی با خط چین قرمز نمایش داده شده است). دایره سفید رنگ محل اندازه گیری (قسمت b و c) را نشان می دهد. B: نمایی نزدیک از شکستگی هم لرزه زلزله ۱۹۷۷ در صبح زلزله، محل شیب پرتوگاه در دایره زرند رنگ نشان داده شده است. C: نمایی از محل قسمت b در تابستان ۲۰۰۹ و پس از فروساپی ۴/۵ ساله محل نشیب. در دایره زرند رنگ این شکل اندازه گیری ها بر روی نشیب انجام شد.



شکل ۹. تصویر ماهواره ای محل ایستگاه های شکستگی های هم لرزه زلزله ۱۹۷۷ باب تنگل که اندازه گیری ها بر روی آنها انجام پذیرفته است.





شکل ۹. در این شکل پارامترهای مورد اندازه گیری (شکستگی باب تنگل) و روش برداشت آنها نمایش داده شده است.

جدول ۳. اطلاعات مربوط به شیب توپوگرافی متوسط ( $\alpha$ ) و مقدار ضریب انتشار (k) برای افزارهای گسلی.

$F_s$	$(\alpha_{mean})^\circ$	$(d)_m$
۱	۲۳	۰/۴۸
۲	۲۷/۵	۰/۲۳
۳	۱۹	۰/۲۸
۴	۲۱	۰/۵
۵	۲۷/۵	۰/۵۳
۶	۲۳/۵	۰/۴۶
۷	۲۸	۰/۶۷



انتشار برای رسوبات کواترنری افزار ساز گسله زلزله های ۱۹۷۷ باب تنگل و ۲۰۰۵ داهوئیه به شرح زیر به دست آمد (جدول ۴) که این مقدار متوسط ضریب انتشار Pierce and Colman, (K<sub>mean</sub> = ۳/۵ × ۱۰<sup>-۳</sup> m<sup>2</sup>/ky) با معادله (۱۹۸۶) نیز دارای همخوانی می باشد:

$$C^* = [1.35D_a + 3.03] \times [0.1 m^2/kg]$$

اما پائین بودن مقادیر K در منطقه مورد مطالعه نشان دهنده پائین بودن ضریب انتشار رسوب بوده که خود متأثر از چندین عامل می باشد که به شرح زیر است:

- پائین بودن بارندگی و نزولات آسمانی در دوره زمانی فرسایی برای پرتگاه های گسله.

- سیمان شدگی ضعیف بین دانه های رسوب که در ناحیه باب تنگل از نوع سولفات کلسیم بوده و منشا گرفته از سازند دزو و در ناحیه هتکن از نوع کربنات کلسیم و منشا گرفته از سازند های مختلف به خصوص سازند شتری می باشند. اگرچه در محل مورد مطالعه پائین بودن ضریب انتشار گاهی ممکن است سن افزارهای گسلی را بیشتر از واقعیت به نمایش بگذارد که به علت سیمان شدگی های بسیار ضعیف یاد شده بوده و می باشد مد نظر قرار گیرد. مقدار K فوق اغلب می تواند به دلیل حساس بودن به عوامل مختلف از جمله تغییرات هوا فقط برای مواردی بکار گرفته شود که شرایط آب و هوایی و حتی جهت تابش نور خورشید (به دلیل تاثیر در زمان سیمان شدگی و دیگر پارامتر های فرسایی) تا حد امکان بکسان باشد اما برای این مورد محاسبه شده جهت شبیه توپوگرافی و پرتگاه در محدوده ایران مرکزی از جنوب شرق تا جنوب غرب باشد (به اشکال ۷ و ۸ مراجعه شود). نکته دیگری که به ذهن نزدیک می شود این است که مقدار ضریب پخشدگی تابعی از شبیه توپوگرافی و شبیه گسیختگی اولیه و یا حداقل افزار گسله می باشد به طوری که افزارهای گسله بلندتر مقدار ضریب انتشار را به نمایش می گذارند لذا به نظر می رسد مقدار ضریب انتشار به دست آمده از افزار هتکن - داهوئیه به دلیل ارتفاع بیشتر نتایج قبل اعتمادتری نسبت به افزار باب تنگل را ارائه می دهد.

جدول ۴. مقدار ضریب انتشار (k) به دست آمده برای افزارهای گسلی (F<sub>s</sub>)

F <sub>s</sub>	K(m <sup>2</sup> /ky)
۱	۲ × ۱۰ <sup>-۳</sup>
۲	۰.۸ × ۱۰ <sup>-۳</sup>
۳	۹ × ۱۰ <sup>-۴</sup>
۴	۲ × ۱۰ <sup>-۳</sup>
۵	۴ × ۱۰ <sup>-۳</sup>
۶	۱ × ۱۰ <sup>-۳</sup>
۷	۵ × ۱۰ <sup>-۳</sup>
	K <sub>mean</sub> = ۳/۵ × ۱۰ <sup>-۳</sup>

### بررسی نمونه های رسوب

از مهمترین عوامل پخش رسوبات در افزار گسله ها نحوه دانه بندی و اندازه دانه های آن می باشد که دارای تاثیرات زیر است:

الف : زمانی که دانه بندی رسوب خوب بوده به طوری که جور شدگی رسوبات آن بالا باشد، دانه های ریز و به خصوص سیلت ها و رس ها نقش اتصال دهنده ذرات بزرگتر را دارا می باشند لذا با افزایش ذرات یاد شده ضریب پخشدگی رسوب کاهش می یابد.

ب : در صورتی که اندازه ذرات رسوب درشت تر باشد فضای خالی و تخلخل رسوبات نیز بیشتر است و بالعکس. لذا با افزایش تخلخل

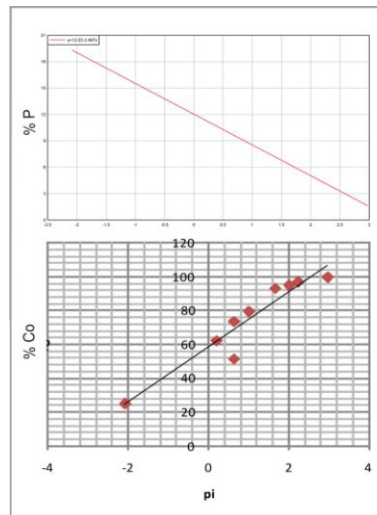
فضای کافی برای عملکرد فرایند رسوب دانه ریزتر باشد این ضریب رفتن ضریب پخشدگی می گردد. لذا هرچه رسوب دانه ریزتر باشد این ضریب کاهش می یابد. بدیهی است وجود سیمان شدگی و تحکیم یافته گی باعث کم شدن ضریب پخشدگی در یک رسوب می گردد. با توجه به دلایل بالا برای مطالعه نوع رسوبی که ضریب انتشار در آن بدست می آید ۶ نمونه خاک از محل افزارهای گسلی برداشت گردید. نمونه های فوق با یکدیگر مخلوط و سپس یک نمونه واحد به وزن حدودی ۳۰۰ گرم انتخاب شد این مقدار رسوب به مدت ۱۵ دقیقه در دستگاه لرزاننده قرار گرفت و دانه ها با ابعاد مختلف از یکدیگر جدا شدند. سپس با استفاده از روش ترسیمی، منحنی فراوانی و تجمعی برای نمونه موردنظر ترسیم گردید (شکل ۱۰). سپس با استفاده از منحنی های فراوانی تجمعی به دست آمده، مقدار میانگین اندازه ذرات (M<sub>z</sub> = (φ16 + φ50 + φ84)/3) به صورت زیر بدست آمد:

$$M_z = \frac{[-2/7 + (-1/2) + (1)]}{3} = -2.9 \phi$$

پارامترهای بدست آمده نشان دهنده رسوب ماسه ای حاوی مقداری گل و دانه های شن می باشد.

### نتیجه گیری

با توجه به اندازه گیری های میدانی انجام شده و بررسی عوامل موثر بر کاهش یا افزایش ضریب انتشار رسوبات نظیر میزان نزولات آسمانی، جهت باد، اندازه دانه های رسوبات، جور شدگی و میزان سیمان شدگی ... میزان ضریب



شکل ۱۰. تصویر بالا: نمودار درصد فراوانی و تصویر پایین: نمودار درصد تجمعی در برابر مقادیر φ را برای نمونه رسوبات اخذ شده نمایش می دهد.



شجاعی، سید وحید. ۱۳۸۵. گزارش اجمالی ارزیابی اقلیمی منطقه زرند ۱۳۸۱-۱۳۸۴، دانشگاه شهید باهنر کرمان.  
سازمان هواشناسی کشور. ۱۳۸۹. وب سایت رسمی ( [www.irimo.ir/english/statistic/synopH](http://www.irimo.ir/english/statistic/synopH) )

- Bobek, H. 1963. Nature and implications of Quaternary climatic changes in Iran. In: Changes of Climate20, 403–413
- Busche, D.; sarVati, r. and sieFKer, u.2002. Kuh-e-Namak. Reliefgeschichte eines Salzdoms im abfusslosen zentraliranischen Hochland. In: Petermanns Geogr. Mitt. 146, 68–77
- Colman, S. M., Watson,K., 1983. Ages estimated from a diffusion equation model for scarp degradation. Science, 221: 263-265
- Ganji, M. H. 1978. Post-glacial climatic changes on the Iranian plateau. In: Brice, W. c. (ed.): The environmental history of the Near and Middle East since the last ice age. London, New York, San Francisco, 149–163.
- Huckriede, R. 1961. Jung-Quartär und End-Mesolith Jung-Quartär und End-Mesolithikum in der Provinz Kerman (Iran). In: Eiszeitalter u. Gegenwart 12, 25–42.
- Kehl, M., Frechen, M. and Skowronek, A. 2005a. Paleosols derived from loess and loess-like sediments in the Basin of Persepolis, Southern Iran. In: Quat. Int. 140/141, 135–149.
- Kehl, M.; Sarvati, r., Ahmadi, h., Frechen, M. and Skowronek, A. 2005b. Loess paleosol-sequences along a climatic gradient in Northern Iran. In: Eiszeitalter u. Gegenwart 55, 149–173
- Kehl,M., 2009, Quaternary climate change in Iran- The state of knowledge, Erdkunde, Vol.63, No.1, pp. 1-17
- Kuhle, M. 1976. Beiträge zur Quartärmorphologie SE-iranischer Hochgebirge. Die quartäre Vergletscherung des Kuh-i Jupar. Göttinger Geogr. Arb. 67. Göttingen.
- Kuhle, M. 2008. The Pleistocene Glaciation (LGP and pre-LGP, pre-LGM) of SE Iranian mountains exemplified by the Kuh-i-Jupar, Kuh-i-Lalezar and Kuh-i-Hezar Massifs in the Zagros. In: Polarforschung 77(2/3), 71–88
- Krinsley, D. B. 1970. A geomorphological and paleoclimatological study of the playas of Iran. US Geol. Surv., Contr. No. PRO CP 70-800. Washington, D.C.
- Pierce, K.L., and Colman, S.M., 1986, Effect of height and orientation (microclimate) on geomorphic degradation rates and processes, late-glacial terrace scarps in central Idaho:Geological Society of America Bulletin, v. 97, p. 869–885.
- Ramezani, E. Marvie mohadjer, r. M., Knapp, h.D., Ahmadi, h. and Joosten, H. 2008 .The late- Holocene vegetation history of the Central Caspian (Hyrcanian) forests of northern Iran. in: The Holocene 18, 307–321.
- Regard,V., Bellier,O., Thomas, J.-C., Abbassi, M.R., Mercier, J., Shabanian,E., Feghhi, Kh. & Soleymani, Sh., 2004, “The accommodation of Arabia-Asia convergence in the Zagros-Makran transfer zone, SE Iran: a transition between collision and subduction through a young deforming system”. Tectonics, 23, TC4007, (24p.) doi :10.1029/2003TC001599
- Regard, V., Bellier, o.;Braucher, r., gasse, F., Bourles, D., Mercier, J. thoMas, J. c., Abbassi, M. r, Shabanian, E. and Soleymani, s. (2006): Be-10 dating of alluvial deposits from Southeastern Iran (the Hormoz Strait area). In: Palaeogeogr. Palaeoclimat. Palaeoecol. 242,
- Sirocko, F., Sarnthein, M., Lange, H. and Erlenkeuser, H. 1991. Atmospheric summer circulation and coastal upwelling in the Arabian Sea during the Holocene and the last glaciation. In: Quat. Res. 36, 72–93.
- Thomas, D. s. g., Bateman, M. D., Mehrshahi, D. and o'hara, s. l. 1997. Development and environmental significance of an eolian sand ramp of last-glacial age, Central Iran. In: Quat. Res. 48, 155–161.
- Vita-Finzi, c. 1969. Late quaternary alluvial chronology of Iran. In: Geol. Rundsch. 58, 951–973.
- Wallace,R.E., 1977, Profiles and ages of young fault scarps. North- central Nevada, Geo, So of America, V.88, pp 1267-1288